

DOI: <https://doi.org/10.26896/1028-6861-2023-89-6-5-12>

## РЕНТГЕНОФЛУОРЕСЦЕНТНЫЙ ЭКСПРЕСС-АНАЛИЗ ТЕХНИЧЕСКОГО ТАНТАЛА И НИОБИЯ: ОТ СЫРЬЯ ДО ПРОДУКТА

© **Лилия Юрьевна Межевая<sup>1</sup>, Михаил Николаевич Филиппов<sup>1,2\*</sup>,**  
**Ольга Игоревна Лямина<sup>2</sup>, Галина Евгеньевна Марьина<sup>2</sup>,**  
**Александра Александровна Архипенко<sup>2</sup>,**  
**Василиса Борисовна Барановская<sup>1,2</sup>**

<sup>1</sup> Национальный исследовательский технологический университет «МИСИС», Россия, 119049, Москва, Ленинский проспект, д. 4; \*e-mail: mn@filippov.org.ru

<sup>2</sup> Институт общей и неорганической химии им. Н. С. Курнакова РАН, Россия, Москва, 119991, Ленинский проспект, д. 31.

*Статья поступила 5 апреля 2023 г. Поступила после доработки 5 апреля 2023 г.  
Принята к публикации 27 апреля 2023 г.*

Существующие подходы к определению примесей в материалах на основе Та и Nb предполагают перевод пробы в раствор с последующим выделением примесей. Эта процедура является достаточно сложной и занимает много времени. В связи с этим представляется интерес исследование возможностей прямого, в частности, рентгенофлуоресцентного анализа (РФА) твердых проб этих материалов. Обычная схема РФА, предполагающая экспериментальное построение градиуровочных характеристик для каждого определяемого элемента, требует большого количества образцов сравнения, содержащих весьма широкий набор примесей. В настоящей работе проведена предварительная характеризация образцов технического tantalа и ниобия и изделий на их основе. Показано, что для исходных материалов методом РФА можно установить только значимое отсутствие примесей, однако уже для спеченного гидрида ниобия и порошка tantalа РФА можно использовать для экспресс-оценки состава. Для анализа предложено применять кристалл-дифракционный спектрометр «Спектроскан Макс-GVM», а для построения градиуровки использовать штатное программное обеспечение, реализующее метод фундаментальных параметров (МФП). В этом случае получаемые содержания примесей могут отличаться на 1 – 2 порядка величины от опорных значений. Такой точности часто достаточно для корректировки технологических процессов. Установлены пределы обнаружения примесей методом РФА в материалах на основе Та и Nb: для элементов, определяемых по линиям *K*-серии (от Ti до Co), предел обнаружения лежит в диапазоне от 30 до 60 млн<sup>-1</sup>. Для элементов, определяемых по линиям *M*-серии (Ta), предел обнаружения составляет примерно 200 млн<sup>-1</sup>, по линиям *L*-серии (Nb) — от 100 до 150 млн<sup>-1</sup>.

**Ключевые слова:** tantal; ниобий; материалы на основе Nb и Ta; анализ твердых проб; рентгенофлуоресцентный экспресс-анализ.

## EXPRESS X-RAY FLUORESCENT ANALYSIS OF TECHNICAL-GRADE TANTALUM AND NIOBIUM: FROM RAW MATERIALS TO PRODUCTS

© **Liliya Yu. Mezhevaya,<sup>1</sup> Mikhail N. Filippov,<sup>1,2\*</sup> Olga I. Lyamina,<sup>2</sup>**  
**Galina E. Mar'ina,<sup>2</sup> Aleksandra A. Arkhipenko,<sup>2</sup> Vasilisa B. Baranovskaya<sup>1,2</sup>**

<sup>1</sup> National University of Science and Technology “MISIS”, 4, Leninsky prosp., Moscow, 119049, Russia;  
 \*e-mail: mn@filippov.org.ru

<sup>2</sup> Kurnakov Institute of General and Inorganic Chemistry, 31, Leninsky prosp., Moscow, 119071, Russia

*Received April 5, 2023. Revised April 5, 2023. Accepted April 27, 2023.*

Determination of impurities in Ta- and Nb-based materials is a necessary operation in supporting technological processes. The existing approaches involve the transfer of a sample into a solution with subsequent isolation of impurities. This procedure is rather complicated and takes a lot of time. For this reason, it is of interest to study the possibilities of direct analysis of solid-phase samples of materials, e.g., X-ray fluores-

cence analysis (XRF). The usual scheme of X-ray fluorescence analysis, which involves the experimental construction of calibration characteristics for each element to be determined, requires using a large number of reference samples containing a rather wide range of impurities. We present the results of preliminary characterization of samples of technical-grade tantalum and niobium and products on their base. It is shown that for starting materials, only a significant absence of impurities can be determined using XPA, but even for sintered niobium hydride and Ta powder, XPA can be used as a method for rapid assessment of the composition. A SPECTROSCAN MAX GVM crystal-diffraction spectrometer can be used for analysis and a standard software that implements the fundamental parameter method (FPA) can be used for calibration. In this case, the obtained values of the content of impurities may differ by 1 – 2 orders of magnitude from the reference values. However, such an accuracy is often enough to correct technological processes. The limits of detecting impurities by XRF in Ta- and Nb-based materials are revealed: for elements determined by *K*-series (from Ti to Co), the detection limits lie in the range from 30 to 60 ppm, whereas for the elements determined by *M*-series (Ta) the detection limit is approximately 200 ppm and for *L*-series (Nb) the detection limit is in the range from 100 to 150 ppm.

**Keywords:** tantalum; niobium; Ta- and Nb-based materials; analysis of solid samples; express X-ray fluorescence analysis.

## Введение

Обеспечение безопасности объектов атомной энергетики, а также соответствия продукции авиационной, электронной и радиотехнической промышленности эксплуатационным характеристикам требует постоянного контроля качества и чистоты используемых материалов. Современная опто- и радиоэлектроника, приборо- и автомобилестроение, химическая промышленность, металлургия, атомная и альтернативная энергетика напрямую зависят от качества используемых редких металлов (РМ), контроль химического состава и структуры которых — неотъемлемая часть производства материалов, содержащих РМ. В 70 – 80-х годах прошлого века для анализа материалов на основе РМ в основном использовали методы оптико-спектрального анализа, дуговой атомно-эмиссионный метод был стандартизован [1]. Сейчас большинство применяемых методик анализа включает переведение редких металлов в раствор и предварительное отделение примесей от основы пробы ввиду матричного влияния Та и Nb [2, 3]. Однако масштабы применения редких тугоплавких материалов, таких как Nb и Та, требуют развития методических подходов к экспрессной химической идентификации и панорамному химическому анализу. В значительной

степени это связано с длительностью переведения пробы в раствор, многостадийностью операций, разделением и маскированием мешающих примесей. Таким образом, возникает потребность в разработке методик прямого анализа твердых проб материалов, содержащих РМ, с учетом возможностей современной аппаратуры, метрологического и информационного обеспечения, что в первую очередь относится к методу РФА [4, 5]. Группа РМ обширна по составу и разнообразна по свойствам элементов, поэтому использование метода РФА перспективно для определения РМ как с точки зрения селективности, универсальности в части форм нахождения элементов, так и экспрессности [6, 7].

Цель данной работы — исследование аналитических возможностей РФА применительно к ниобию, tantalу, исходным и промежуточным продуктам их получения.

## Первичная характеристизация объектов исследования

Первичная характеристизация объектов технологического передела осуществлена с использованием атомно-эмиссионной спектрометрии с индуктивно-связанной плазмой (АЭС-ИСП) и дуговым источником возбуждения спектра (ДАЭС), а также масс-спектрометрии с искровым источником ионизации (ИМС) (табл. 1 – 4).

Методом ИМС установлено, что содержание Ti, Mo, Zr, Ni, Al, Mg, Mn, Co, Sn, W в представленных пробах исходного и промежуточного материалов на основе Nb не превышает  $3 \cdot 10^{-6}\%$ , Si и Cu —  $2 \cdot 10^{-5}\%$ .

Содержание Mg, Mn, Co, Sn в представленных пробах конечного продукта на основе Nb не превышает  $3 \cdot 10^{-6}\%$ .

По данным ИМС содержание Zr, Al, Mg, Mn, Co в представленных пробах Та — не более  $3 \cdot 10^{-6}\%$ .

**Таблица 1.** Результаты предварительного изучения исходного и промежуточного материалов на основе Nb

Элемент	Содержание, %			
	Слиток ниобия (входной контроль сырья)		Спеченный гидрид ниобия (промежуточный)	
	АЭС-ИСП	ИМС	АЭС-ИСП	ИМС
Ta	<0,01	0,002	0,033	0,018
W	<0,01	<0,00001	<0,01	0,0005
Fe	<0,01	0,0001	Не опр.	0,0001

Предварительное изучение исследуемых материалов на основе ниобия и тантала показало, что целевыми контролируемыми технологически значимыми примесями являются Nb, Ta, Ti, Cr, Mo, Si, Al, Fe, Cu, Ni.

В качестве объектов исследования выбраны исходный слиток Nb, пластина и порошок Ta, а также спеченный гидрид ниобия и конечный продукт Nb.

### Экспериментальная часть

Для рентгенофлуоресцентного анализа использовали спектрометр «Спектроскан Макс-GVM» (ООО «НПО Спектрон», г. Санкт-Петербург) с МФП [8].

Рабочие параметры спектрометра: напряжение на аноде рентгеновской трубки — от 20 до 40 кВ; ток рентгеновской трубки — от 0,5 до 3,5 мА; материал анода рентгеновской трубки —

**Таблица 2.** Результаты предварительного изучения конечного продукта на основе Nb

**Table 2.** Results of a preliminary study of the final product based on Nb

Элемент	Содержание, %			
	Порошок ниобия (партия 1)		Порошок ниобия (партия 2)	
	АЭС-ИСП	ИМС	АЭС-ИСП	ИМС
Ta	0,394	0,3	0,033	0,018
W	0,011	0,0005	<0,01	0,0005
Ti	<0,01	0,0002	<0,01	0,001
Si	<0,01	0,005	<0,01	0,02
Fe	<0,01	0,03	<0,01	0,04
Mo	<0,01	0,004	<0,01	0,0001
Cu	<0,01	0,002	<0,01	0,002
Zr	<0,01	0,005	<0,01	0,0006
Ni	<0,01	0,0007	<0,01	0,005
Al	<0,01	0,02	<0,01	0,02

**Таблица 3.** Результаты предварительного изучения исходного и промежуточного материалов на основе Ta

**Table 3.** Results of a preliminary study of initial and intermediate materials based on Ta

Элемент	Содержание, %				
	Пластина Та (входной контроль сырья)		Дегидрированный порошок Та (промежуточный)		
	АЭС-ИСП	ИМС	АЭС-ИСП	ИМС	ДАЭС
Nb	0,0480	0,030	0,046	0,0300	0,042
W	<0,01	0,006	<0,01	0,0050	Не опр.
Ti	<0,01	<0,000001	<0,01	<0,000001	<0,0005
Cr	<0,01	0,000007	<0,01	0,004	0,0085
Mo	<0,01	0,0005	<0,01	0,004	0,0024
Si	<0,01	0,00005	<0,01	0,0003	<0,0005
Fe	<0,01	0,00003	0,0280	0,0300	0,025
Cu	<0,01	0,00002	<0,01	0,0009	0,001
Ni	<0,01	<0,000002	<0,01	0,004	0,008
Sn	<0,01	<0,000003	<0,01	0,0007	0,0002

**Таблица 4.** Результаты предварительного изучения конечного продукта на основе Ta

**Table 4.** Results of a preliminary study of the final product based on Ta

Элемент	Танталовый порошок 1 (продукт, проба 21423)		Танталовый порошок 2 (продукт, проба 21424)		
	АЭС-ИСП	ИМС	АЭС-ИСП	ИМС	ДАЭС
Nb	0,042	0,05	0,048	0,04	0,045
W	<0,01	0,004	<0,01	0,001	Не опр.
Ti	<0,01	0,0003	<0,01	0,0004	<0,0005
Cr	<0,01	0,009	0,0385	0,04	0,027
Mo	<0,01	0,007	<0,01	0,0050	0,0015
Fe	0,028	0,05	0,12	0,15	0,075
Cu	Не опр.	0,0003	Не опр.	0,0010	<0,0005
Ni	Не опр.	0,007	<0,01	0,009	0,012
Mn	Не опр.	<0,000001	Не опр.	0,002	0,0014

Pd; кристаллы-анализаторы — LiF(200), PET, KAP (RbAP).

**Спектральные наложения.** При определении возможных спектральных помех (табл. 5) необходимо учитывать, что содержание Та и Nb как основных элементов на несколько порядков превосходит содержание примесей, поэтому влияние Та и Nb может быть существенным за пределами интервала, равного полной ширине на половине высоты их ярких линий.

Для примесных элементов приведены только первые порядки наложений, для Та и Nb — также и вторые порядки. Для Fe, Al и Si в материалах, состав которых выявлен в ходе предварительной характеристизации, значимые наложения отсутствуют. При этом необходимо отметить, что регистрация линий Si и Al в связи с инструментальными особенностями используемого спектрометра осложнена, поэтому эти элементы из дальнейшего рассмотрения были исключены.

Кроме учета наложений, необходимо иметь в виду, что в приборе «Спектроскан Макс-GVM» присутствует аппаратурный пик Fe.

## Обсуждение результатов

**Оценка пределов обнаружения искомых аналитиков в исследуемых материалах.** Оценку пре-

**Таблица 5.** Основные спектральные наложения

**Table 5.** Main spectral overlaps

Аналитическая линия	Положение линии, мÅ	Возможные наложения, мÅ
TaLa <sub>1</sub>	1522	CuKa <sub>1</sub> 1540,6
TaLa <sub>2</sub>	1533	CuKa <sub>2</sub> 1542,4
TaLβ	1327	WLβ <sub>1,3</sub> 1338 NiKβ <sub>1,3</sub> 1500 NbKβ <sub>1,3</sub> (II) 1331,2 NbKβ <sub>3</sub> (II) 1332,2
TaMa	7252	Не попадает в диапазон кристалла PET
TaMβ	7023	WMA <sub>1</sub> 6983 WMA <sub>2</sub> 6992
NbLa <sub>1</sub>	5724	ZrLβ <sub>1</sub> 5710
NbLa <sub>2</sub>	5732	
NbLβ <sub>1</sub>	5492	MoLa <sub>1</sub> 5407 MoLa <sub>2</sub> 5414
TiKa <sub>2</sub>	5504	NbLβ <sub>1</sub> 5492
TiKa <sub>1</sub>	5497	
CuKa	1541,7	NbKa(II) 1486
CrKa	2290,9	TaLy(II) 2272
NiKa	1659,1	WLI 1678
MoKa	1411,0	ZrKβ <sub>2</sub> 1394 CuKβ <sub>2</sub> 1422,2

делов обнаружения выполняли в соответствии с алгоритмом, предложенным в работах [9, 10]:

$$c_{\min} = 3\sqrt{2}s_b \frac{\Delta c}{\Delta I}, \quad (1)$$

где  $c_{\min}$  — предел обнаружения;  $s_b$  — среднеквадратическое отклонение (СКО) отдельных результатов измерений фона;  $\Delta c/\Delta I$  — значение обратной чувствительности.

СКО фона, соответствующее положению аналитической линии, оценивали по формуле:

$$s_b = \sqrt{\frac{1}{n-1} \sum_{i=1}^n (I_{bi} - \bar{I}_b)^2}, \quad (2)$$

где  $I_{bi}$  — значение интенсивности фона в  $i$ -м измерении;  $\bar{I}_b = \frac{1}{n} \sum_{i=1}^n I_{bi}$ ;  $n$  — число измерений.

**Определение  $c_{\min}$  для элементов, определяемых по линиям K-серии.** Экспериментальное определение предела обнаружения проводили для аналитической линии TiKa<sub>1,2</sub> в Nb, поскольку для имеющихся образцов она свободна от наложений линий примесей. Измерения выполнены при напряжении на трубке 40 кВ, токе трубы 0,5 мА с использованием кристалла-анализатора LiF(200) (число измерений фона и интенсивности линии аналита  $n = 10$ ), время набора данных — 20 с). Оценка СКО отдельных результатов измерений фона по формуле (2) составила  $\sim 11,5$  имп,  $\Delta I \approx 11695,4$  имп (средняя интенсивность на пике за вычетом средней интенсивности фона в положении максимума линии). Значение обратной чувствительности  $\Delta c/\Delta I \approx 6,651 \cdot 10^{-5}$  %/имп. Таким образом, по формуле (1) имеем:  $c_{\min} \approx 0,0032 \% = 32 \text{ млн}^{-1}$ .

Уменьшение напряжения на трубке до 20 кВ приводит к повышению предела обнаружения до 40 млн<sup>-1</sup>.

Оценка предела обнаружения по Fe, выполненная аналогичным образом для линии Ka<sub>1,2</sub>, показала несколько большие значения:  $c_{\min} \approx 60 - 80 \text{ млн}^{-1}$  для напряжения на трубке 40 кВ. Это может быть связано с наличием аппаратурного пика железа в данном приборе.

Основываясь на полученных значениях для Ti и принимая во внимание близкие выходы флуоресценции для линий K-серии элементов от Ti до Ni, можно считать их предел обнаружения в материалах на основе ниобия равным 30 – 60 млн<sup>-1</sup>.

Предел обнаружения Та в материале на основе Nb оценили аналогично для следующих условий: напряжение на трубке — 40 кВ, ток трубы — 0,5 мА, время набора данных — 200 с. В качестве аналитической выбрана линия TaKβ, так

**Таблица 6.** Условия проведения экспресс-РФА материалов на основе Та и Nb**Table 6.** Conditions for express XRF analysis of materials based on Ta and Nb

Элемент	Аналитическая линия	Кристалл-анализатор	Элемент	Аналитическая линия	Кристалл-анализатор
Ta	TaLa <sub>1,2</sub>	LiF(200)	Cr	CrKa <sub>1,2</sub>	LiF(200)
Nb	NbLa <sub>1,2</sub>	PET	Ni	NiKa <sub>1,2</sub>	LiF(200)
Ti	TiKa <sub>1,2</sub>	LiF(200)	Si	SiKa <sub>1,2</sub>	PET
Fe	FeKa <sub>1,2</sub>	LiF(200)	Mo	MoKa	LiF(200)
Zr	ZrLa	PET	Al	AlKa <sub>1,2</sub>	RbAP
Cu	CuKa	LiF(200)			

как  $\alpha$ -линия не попадает в угловой диапазон кристалла PET на данном приборе, а интенсивность на кристалле RbAP существенно хуже. Оценка предела обнаружения дает значение около 200 млн<sup>-1</sup>. Значения пределов обнаружения других элементов, определяемых по линиям  $M$ -серии, должны быть аналогичными. Линии  $M$ -серии не могут использоваться в программе МФП для описываемого эксперимента, однако возможна разработка методики для определения конкретных элементов.

Таким образом, поскольку фон от линии  $K$ -серии от Ti до Co носит монотонный характер и выход флуоресценции также меняется монотонно, можно считать, что  $c_{\min}$  для  $K$ -серии лежит в диапазоне от 30 до 60 млн<sup>-1</sup>. Для элементов, определяемых по линиям  $M$ -серии (Ta),  $c_{\min}$  составляет примерно 200 млн<sup>-1</sup>, по  $L$ -серии (Nb) — от 100 до 150 млн<sup>-1</sup>.

Полученные результаты позволяют использовать спектрометр «Спектроскан Макс-GVM» для экспресс-определения примесей, содержания которых превышают указанные значения.

**Рентгенофлуоресцентный экспресс-анализ материалов на основе Та и Nb.** Основные параметры проведения РФА материалов на основе тантала и ниобия приведены в табл. 6 (напряжение на трубке — 40 кВ; ток трубки — 3,5 мА, если не оговорено иное).

Предварительная подготовка порошковых проб состояла в следующем: в качестве анализируемого материала использовали измельченный порошок, гомогенный по гранулометрическому и химическому составу, крупностью до 60 мкм, массой 1,0 – 2,0 г. Таблетки-излучатели для РФА готовили на полуавтоматическом гидравлическом прессе Herzog HTP-40, в качестве подложки использовали борную кислоту.

Содержания определяемых компонентов устанавливали с использованием встроенного программного обеспечения спектрометра «Спектр-Квант» с применением МФП [11 – 15]. Этот метод основан на установлении математической зависимости между измеренной и расчетной интенсивностями аналитического сигнала с учетом

таких факторов, как массовые коэффициенты поглощения, выходы флуоресценции, интенсивности первичного спектра, углы падения первичного рентгеновского излучения на образец и отражения флуоресцентного излучения, и ряда других параметров.

Чаще всего МФП используют при установлении содержаний компонентов проб неизвестного состава. Он отличается экспрессностью, однако является менее точным по сравнению с построением градиуровочных зависимостей с использованием стандартных образцов состава. С середины прошлого века ведутся работы по усовершенствованию МФП применительно к различным приборам.

Необходимо отметить, что во многих случаях имеют место значительные наложения аналитических линий, что может приводить к значимымискажениям результатов, получаемых с применением МФП. Регистрация сигнала означает, что содержание примеси выше предела обнаружения. Без специальной настройки программного обеспечения и применения поправок можно утверждать, что численные значения содержаний могут отличаться от опорных значений на 1 – 2 порядка величины. Важной для корректировки технологических процессов является возможность быстрого установления наличия той или иной примеси на определенном уровне.

Сопоставление результатов РФА с результатами предварительной характеристизации.

В табл. 7, 8 сопоставлены результаты, полученные методами РФА и АЭС-ИСП. Использована аттестованная методика АЭС-ИСП со следующими метрологическими характеристиками: для содержания примесей в редких тугоплавких металлах от 0,001 до 0,5 % масс. диапазон стандартных отклонений (Sr) — 0,00003 – 0,013 % масс.

Как видно из представленных данных, наблюдается корреляция результатов АЭС-ИСП и РФА, при этом результаты РФА, как правило, являются несколько завышенными. Это наглядно иллюстрируют рис. 1, 2.

Полученные расхождения между результатами АЭС-ИСП и РФА по методу фундаменталь-

**Таблица 7.** Результаты сопоставительного эксперимента для проб на основе Nb

**Table 7.** Results of the comparative experiment for Nb-based samples

Проба	Элемент	Содержание, %	
		АЭС-ИСП	РФА
Nb слиток	Ta	<0,01	0,015
	Fe	<0,005	0,009
	Nb	Основа	99,86
NbH	Ta	0,033	0,13
	Fe	<0,005	0,006
	Nb	Основа	99,87
Nb порошок, партия 1	Ta	0,4	0,5
	Fe	<0,005	0,09
	Cu	<0,005	0,02
	Nb	Основа	99,89
Nb порошок, партия 2	Ta	<0,01	0,2
	Fe	<0,005	0,04
	Cu	<0,005	0,03
	Nb	Основа	99,73

ных параметров являются значимыми. Возможные причины этого отмечены выше. При этом данные результаты демонстрируют практическую возможность определения ряда технически важных примесей в ниобии и tantalе без специальной подготовки пробы и настройки программного обеспечения. В перспективе могут быть введены поправки в результаты и корректировка в методику.

## Заключение

Установлено, что РФА может быть использован для экспрессной идентификации примесей в техническом tantalе и ниобии на различных стадиях производственного цикла. Пределы обнаружения элементов, определяемых по линиям *K*-серии, в пробах исследуемого состава лежат в диапазоне от 30 до 60  $\text{млн}^{-1}$ , для элементов, определяемых по линиям *M*-серии, значения ПО порядка 200  $\text{млн}^{-1}$ , по линиям *L*-серии — от 100 до 150  $\text{млн}^{-1}$ . При использовании МФП без специальной подготовки полученные значения могут отличаться от опорных на 1–2 порядка величины. Этого в большинстве случаев достаточно для корректировки технологических процессов. Разработка специальных методик может существенно повысить правильность экспресс-анализа.

## Финансирование

Работа выполнена при финансовой поддержке Минобрнауки России в рамках государствен-

**Таблица 8.** Результаты сопоставительного эксперимента для проб на основе Ta

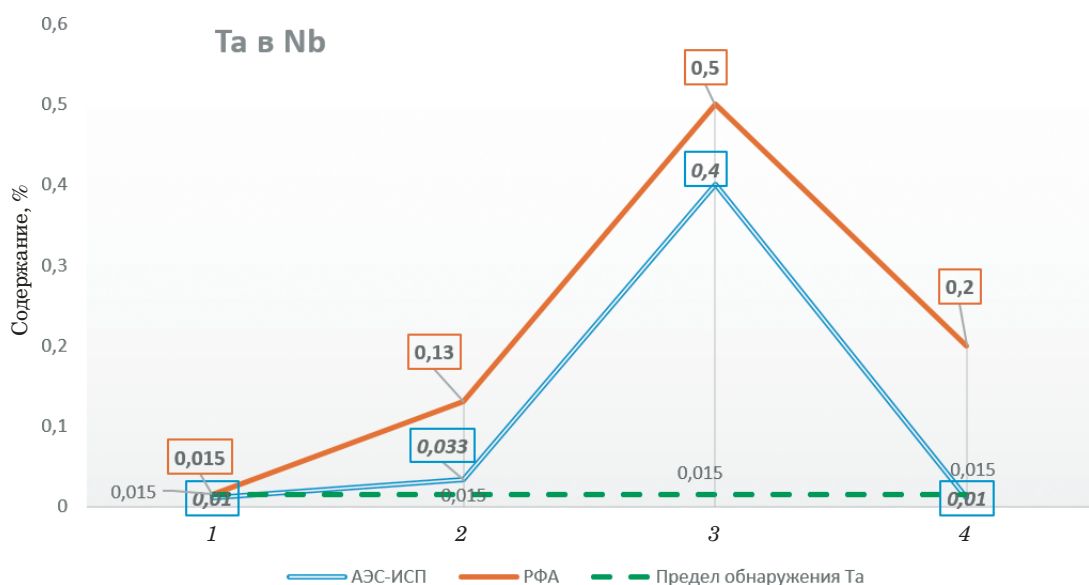
**Table 8.** Results of the comparative experiment for Ta-based samples

Проба	Элемент	Содержание, %	
		АЭС-ИСП	РФА
Ta пластина	Nb	0,048	0,11
	Cr	<0,01	<0,006
	Fe	<0,005	<0,006
	Ni	<0,01	<0,006
Дегидрированный порошок Та	Ta	Основа	99,85
	Nb	0,046	0,11
	Cr	0,004	0,04
	Fe	0,03	0,09
Ta порошок 1	Ni	<0,01	0,05
	Ta	Основа	99,71
	Nb	0,042	0,075
	Cr	<0,01	0,04
Ta порошок 2	Fe	0,028	0,07
	Ni	<0,01	0,08
	Ta	Основа	99,73
	Nb	0,048	0,09
	Cr	0,039	0,05
	Fe	0,12	0,17
	Ni	<0,01	0,08
	Ta	Основа	99,61

ного задания ИОНХ РАН с использованием оборудования ЦКП ФМИ ИОНХ РАН.

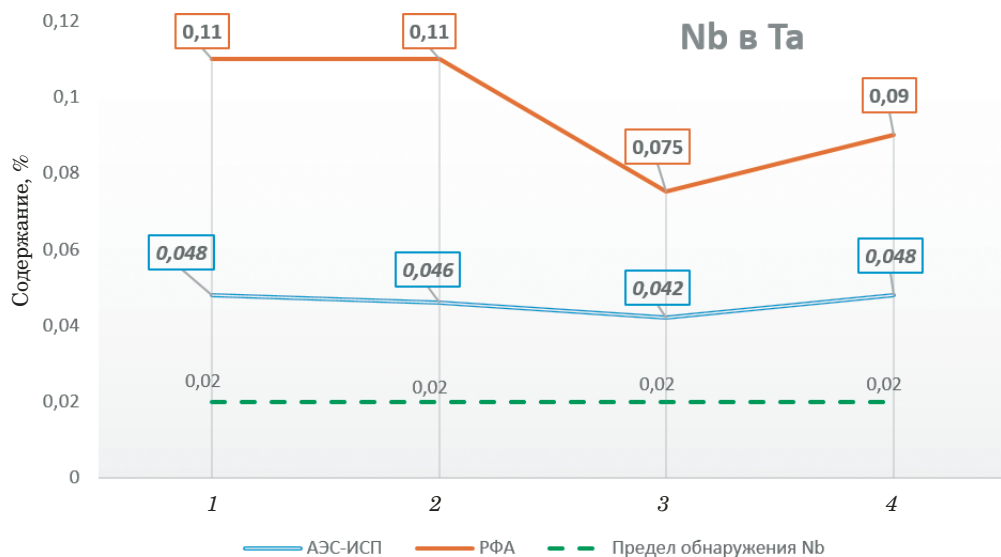
## ЛИТЕРАТУРА

- Мосичев В. И., Николаев Г. И., Калинин Б. Д. Металлы и сплавы. Анализ и исследование. Методы атомной спектроскопии. Атомно-эмиссионный, атомно-абсорбционный и рентгенофлуоресцентный анализ: справ. Т. 2. — СПб.: НПО «Профессионал», 2006. — 716 с.
- Карпов Ю. А., Барановская В. Б. Проблемы стандартизации методов химического анализа в металлургии / Заводская лаборатория. Диагностика материалов. 2019. Т. 85. № 1. Ч. II. С. 5 – 14. DOI: 10.26896/1028-6861-2019-85-1-II-5-14
- Карпов Ю. А., Барановская В. Б. Методы анализа редких и благородных металлов — пути развития / Аналитика. 2019. Т. 9. С. 40 – 47. DOI: 10.22184/2227-572X.2019.09.1.40.47
- Суворова Д. С., Худоногова Е. В., Ревенко А. Г. Разработка методики рентгенофлуоресцентного определения содержаний Ga, Hf и Ta в редкоземельных рудах / Аналитика и контроль. 2016. Т. 20. № 4. С. 344 – 354. DOI: 10.15826/analitika.2016.20.4.009
- Suvorova D., Khudonogova E., Revenko A. X-ray fluorescence determination of Cs, Ce, Nd, and Ta concentrations in rocks of various composition / X-Ray Spectrom. 2017. Vol. 46. N 3. P. 200 – 208. DOI: 10.1002/xrs.2747
- Лосев Н. Ф. Количественный рентгеноспектральный флуоресцентный анализ. — М.: Наука, 1969. — 336 с.
- Ревенко А. Г. Рентгеноспектральный флуоресцентный анализ природных материалов. — Новосибирск: Наука, 1994. — 264 с.



**Рис. 1.** Результаты определения тантала в материалах на основе ниобия методами АЭС-ИСП и РФА (1 — слиток Nb; 2 — NbH; 3, 4 — порошок Nb)

**Fig. 1.** Results of the determination of Ta content in Nb-based materials by ICP-AES and XRF (1 — Nb bar; 2 — NbH; 3, 4 — Nb powder)



**Рис. 2.** Результаты определения ниobia в материалах на основе тантала методами АЭС-ИСП и РФА (1 — пластина Та; 2 — дегидрированный порошок Та; 3, 4 — порошок Та)

**Fig. 2.** Results of the determination of Nb content in Ta-based materials by ICP-AES and XRF (1 — Ta plate; 2 — Ta dehydrated powder; 3, 4 — Ta powder)

8. Жижин И. П., Калинин Б. Д., Литинский А. В. и др. Рентгенофлуоресцентные спектрометры серии «Спектро-скан Макс». Аналитические характеристики / Аналитика и контроль. 2002. Т. 6. № 4. С. 463 – 469.
9. Борхдоев В. Я. О связи пределов обнаружения и определения в рентгенофлуоресцентном анализе / Журн. аналит. химии. 2015. Т. 70. № 11. С. 1143 – 1148. DOI: 10.7868/S0044450215090042
10. Борхдоев В. Я. О пределе обнаружения в рентгенофлуоресцентном анализе / Журн. аналит. химии. 2014. Т. 69. № 11. С. 1141 – 1146. DOI: 10.7868/S0044450214110024
11. Sherman J., Winifred J. M. Adjustment of an Inverse Matrix Corresponding to Changes in the Elements of a Given Column or a Given Row of the Original Matrix / Ann. Math. Stat. 1950. Vol. 21. N 1. P. 124 – 127. DOI: 10.1214/aoms/1177729893
12. Бондаренко А. В., Белоновский А. В., Кацман Я. М. Применение метода фундаментальных параметров при рентгенофлуоресцентном анализе пульповых продуктов обогащения руд / Горная промышленность. 2021. № 5 – 2. С. 84 – 88.
13. Mantler M., Willis J., Lachance G., et al. Quantitative analysis / Handbook of Practical X-Ray Fluorescence Analysis, B. Beckhoff, B. Kanngießer, N. Langhoff, R. Wedell, H. Wolff, Eds. — Berlin – Heidelberg: Springer, 2006. P. 309 – 410. DOI: 10.1007/978-3-540-36722-2\_5

14. **Борходоев В. Я.** Рентгенофлуоресцентный анализ горных пород способом фундаментальных параметров. — Магадан: СВКНИИ ДВО РАН, 1999. — 279 с.
15. **Rousseau R.** Corrections for matrix effects in X-ray fluorescence analysis — A tutorial / Spectrochim. Acta. B. 2006. Vol. 7. P. 759 – 777. DOI: 10.1016/j.sab.2006.06.014

## REFERENCES

1. **Mosichev V. I., Nikolaev G. I., Kalinin B. D.** Metals and alloys. Analysis and research. Methods of atomic spectroscopy. Atomic emission, atomic absorption and X-ray fluorescence analysis: Guide. Vol. 2. — St. Petersburg: NPO “Professional”, 2006. — 716 p. [in Russian].
2. **Karpov Yu. A., Baranovskaya V. B.** Issues of standardization of the methods of chemical analysis in metallurgy / Zavod. Lab. Diagn. Mater. 2019. Vol. 85. N 1. Part II. P. 5 – 14 [in Russian]. DOI: 10.26896/1028-6861-2019-85-1-II-5-14
3. **Karpov Yu. A., Baranovskaya V. B.** Methods for the analysis of rare and precious metals — ways of development / Analytika. 2019. Vol. 9. N 1. P. 40 – 47 [in Russian]. DOI: 10.22184/2227-572X.2019.09.1.40.47
4. **Suvorova D., Khudonogova E., Revenko A.** Development of the XRF determination technique for the Ga, Hf, and Ta contents in rare earth ores / Analit. Kontrol'. 2016. Vol. 20. N 4. P. 344 – 354 [in Russian]. DOI: 10.15826/analitika.2016.20.4.009
5. **Suvorova D., Khudonogova E., Revenko A.** X-ray fluorescence determination of Cs, Ce, Nd, and Ta concentrations in rocks of various composition / X-Ray Spectrom. 2017. Vol. 46. N 3. P. 200 – 208. DOI: 10.1002/xrs.2747
6. **Losev N. F.** Quantitative X-ray fluorescent analysis. — Moscow: Nauka, 1969. — 336 p. [in Russian].
7. **Revenko A. G.** X-ray spectral fluorescence analysis of natural materials. — Novosibirsk: Nauka, 1994. — 264 p. [in Russian].
8. **Zhizhin L. P., Kalinin B. D., Liunski A. V., et al.** X-ray fluorescence spectrometers “Spectroscan Maks”. Analytical parameters / Analit. Kontrol'. 2002. Vol. 6. N 4. P. 463 – 469 [in Russian].
9. **Borkhodoev V. Ya.** About a correlation between the limits of detection and determination in X-ray fluorescence analysis / J. Anal. Chem. 2015. Vol. 70. N 11. P. 1307 – 1312. DOI: 10.1134/S106193481509004X
10. **Borkhodoev V. Ya.** About the limit of detection in X-ray fluorescence analysis / J. Anal. Chem. 2014. Vol. 69. N 11. P. 1041 – 1046. DOI: 10.1134/S1061934814110021
11. **Sherman J., Winifred J. M.** Adjustment of an Inverse Matrix Corresponding to Changes in the Elements of a Given Column or a Given Row of the Original Matrix / Ann. Math. Stat. 1950. Vol. 21. N 1. P. 124 – 127. DOI: 10.1214/aoms/1177729893
12. **Bondarenko A. V., Belonovsky A. V., Katzman Ya. M.** Application of fundamental parameter method in X-ray fluorescence Analysis of Pulp Products in Ore Concentration / Gorn. Prom. 2021. N 5 – 2. P. 84 – 88 [in Russian].
13. **Mantler M., Willis J., Lachance G., et al.** Quantitative analysis / Handbook of Practical X-Ray Fluorescence Analysis, B. Beckhoff, B. Kanngießer, N. Langhoff, R. Wedell, H. Wolff, Eds. — Berlin – Heidelberg: Springer, 2006. P. 309 – 410. DOI: 10.1007/978-3-540-36722-2\_5
14. **Borkhodoev V. Ya.** X-ray fluorescence analysis of rocks by the method of fundamental parameters. — Magadan: SVKNII FEB RAN, 1999. — 279 p. [in Russian].
15. **Rousseau R.** Corrections for matrix effects in X-ray fluorescence analysis — A tutorial / Spectrochim. Acta. B. 2006. Vol. 7. P. 759 – 777. DOI: 10.1016/j.sab.2006.06.014